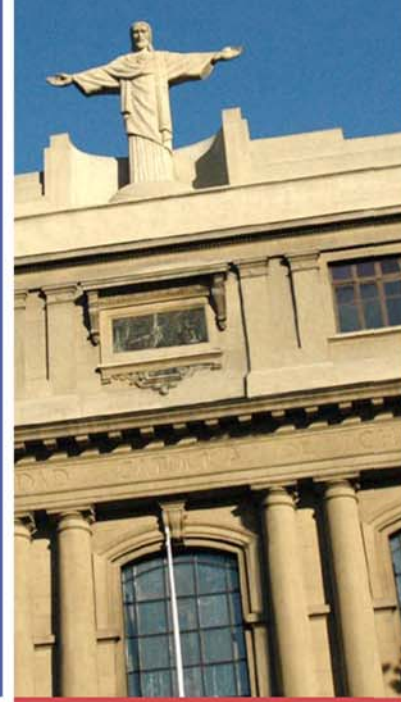
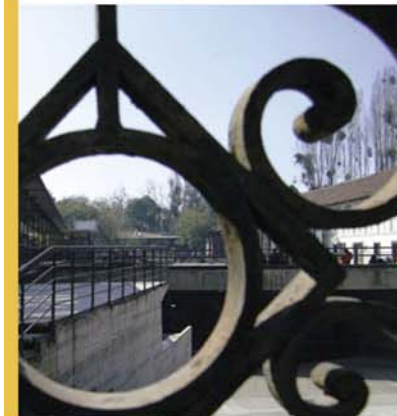




PONTIFICIA  
UNIVERSIDAD  
CATÓLICA  
DE CHILE

Patricio Arce Johnson  
Facultad de Ciencias Biológicas



# El Caso de la Tolerancia a la Salinidad

# DESERTIFICACIÓN MUNDIAL



NATURE|Vol 452|20 March 2008

- La desertificación es un fenómeno mundial que afecta a un 40% de la masa terrestre de nuestro planeta (CNULD, 2006)
- El 22% de la producción mundial de alimentos procede de zonas áridas y semiáridas, las cuales “están en riesgo de desertificación” y concentran “la mayoría de la población pobre del planeta” (CNULD, 2008)
- La desertificación en Chile abarca un 66% del territorio (40 millones de hectáreas), lo que constituye el problema ambiental más grave del país (CODEFF, 2006)
- Para el 2025, más de la mitad de las naciones del mundo se enfrentarán a estrés o escasez de agua dulce, y para el año 2050, un 75% de la población mundial podría enfrentarse a la escasez de agua dulce

# PROBLEMA: Suelos Altamente Salinos



Copiapó

Clementines



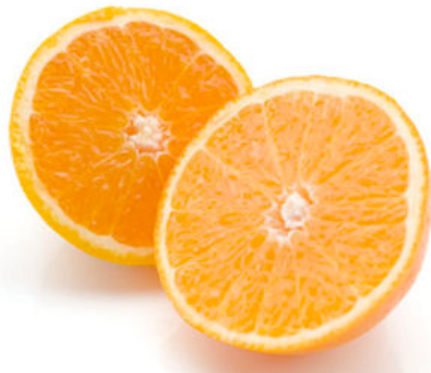
Montepatria

Valles	Conductividad eléctrica (uS/cm)	Cloro (mg/l)	Boro (mg/l)
Río Copiapó	1.000-2.200	40-160	1,0-2,2
Río Huasco	500-1.200	20-50	1,0-1,1
Río Limarí	200-600	15-80	0,4-0,7

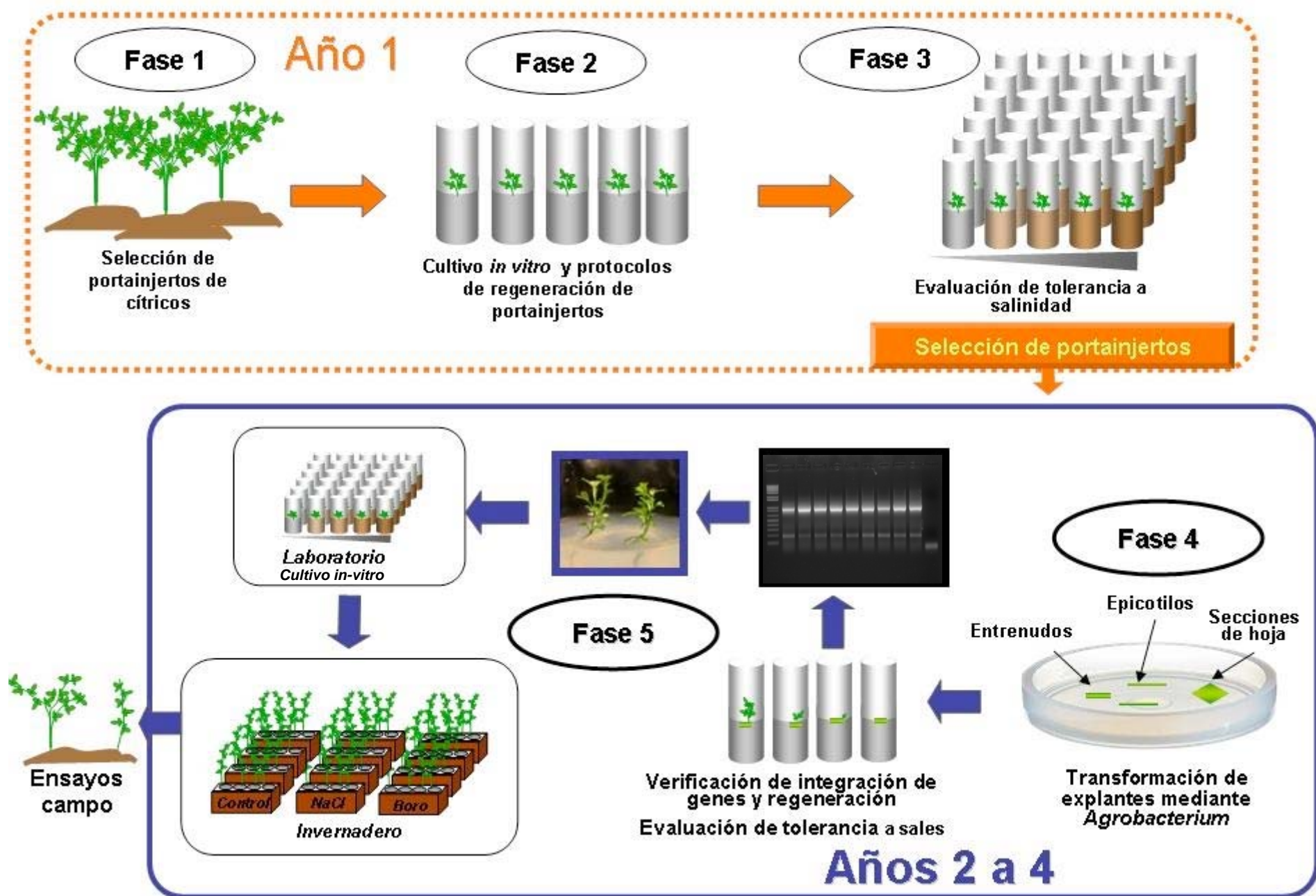
General Direction of Water, 2004.

# IMPORTANCIA DE LOS CITRICOS

- En Chile 20.398 Ha plantadas (2008)
- 7,9% de esta superficie Principalmente Región Metropolitana, Valparaíso y O'Higgins
- Temperatura óptima: Valle de Limarí, Elqui, Huasco y Copiapó
- Producción mundial de 108 millones de toneladas, superficie de 7,4 millones de Ha.
- Brasil (20,5 millones de toneladas), EEUU (15) y China (14,5)

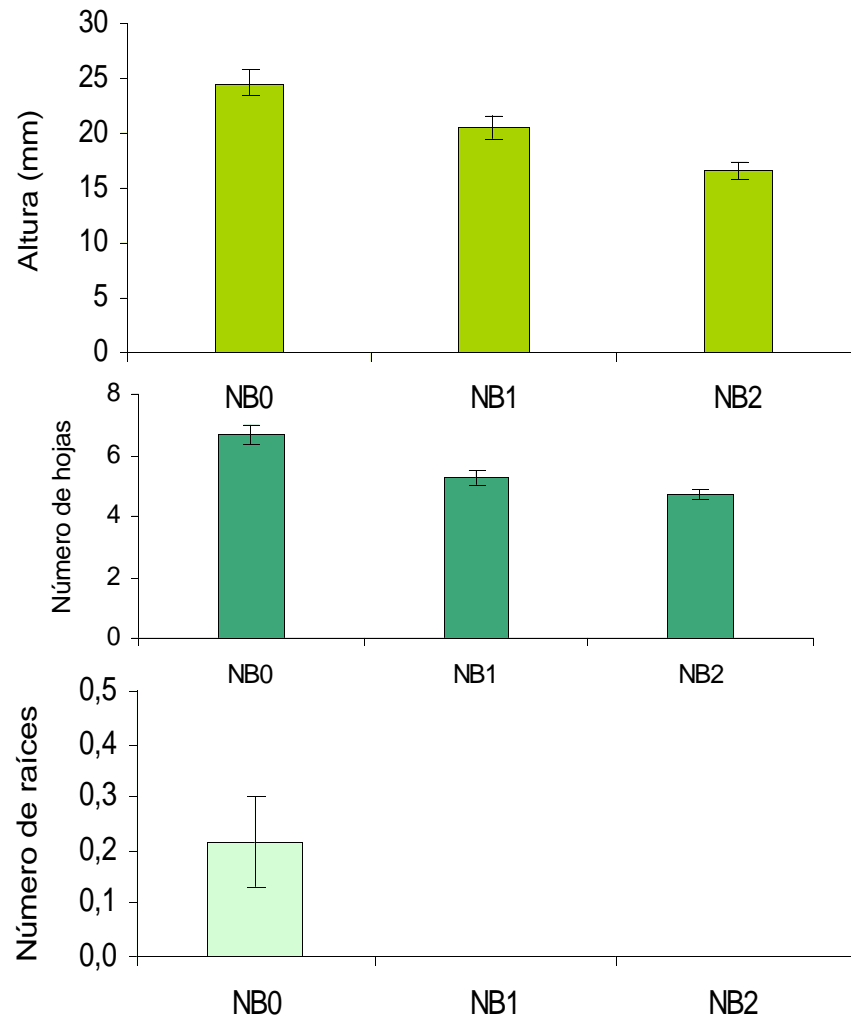


# Incremento de Tolerancia a Salinidad en Cítricos





# Tolerancia a NaCl + B

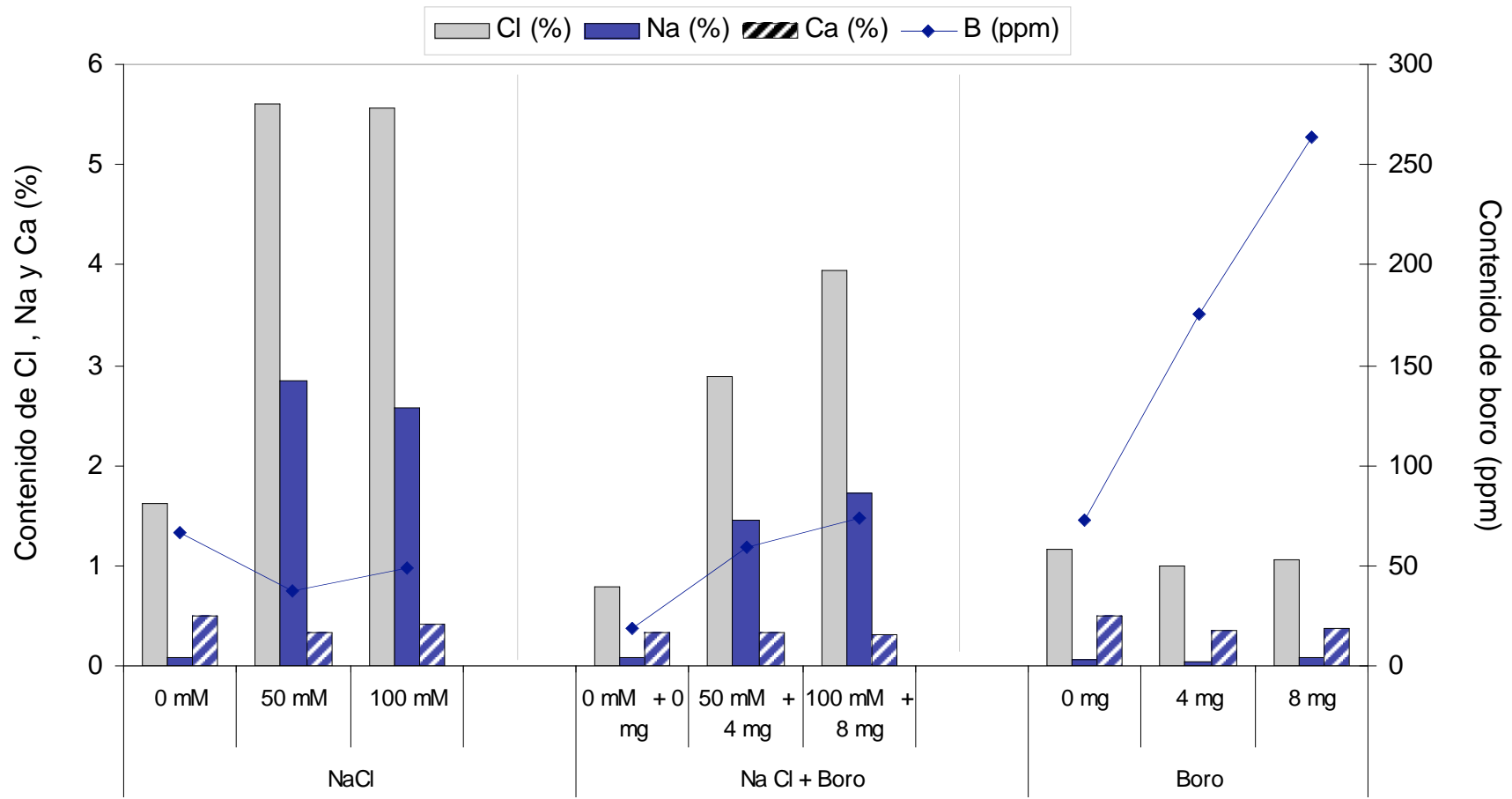


NB0: control, medio MS+vitaminas

NB1: NaCl 50 mM + B 4 mg/l

NB2: NaCl 100 mM + B 8 mg/l





# Portainjerto C-35

**0 mM NaCl**



**50 mM NaCl**



**100 mM NaCl**

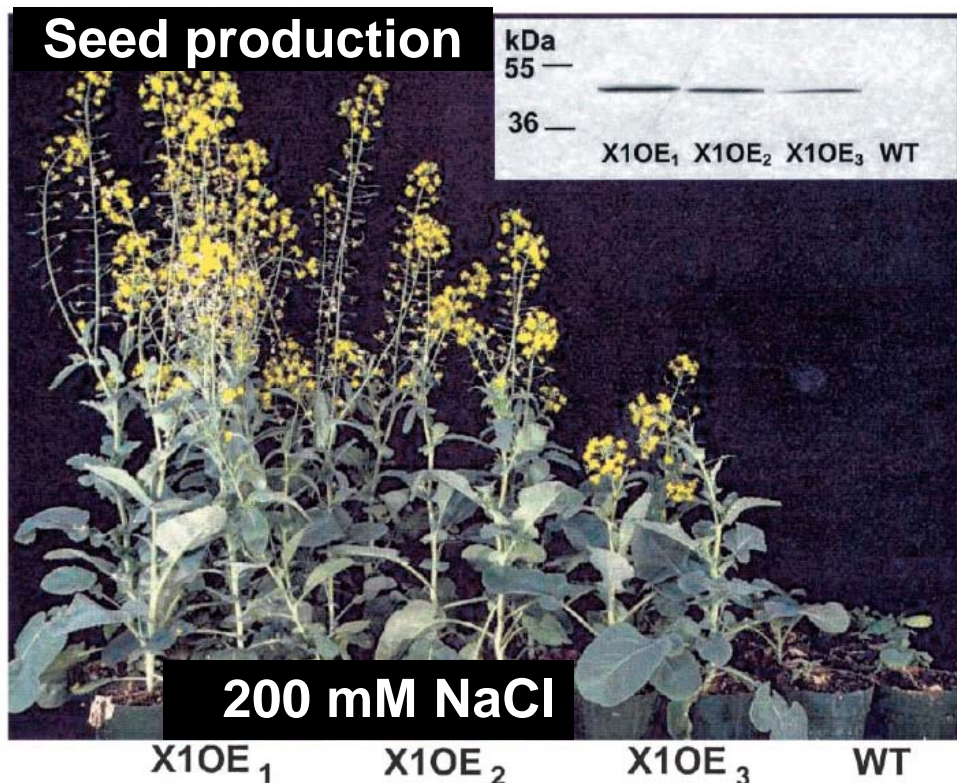


**200 mM NaCl**



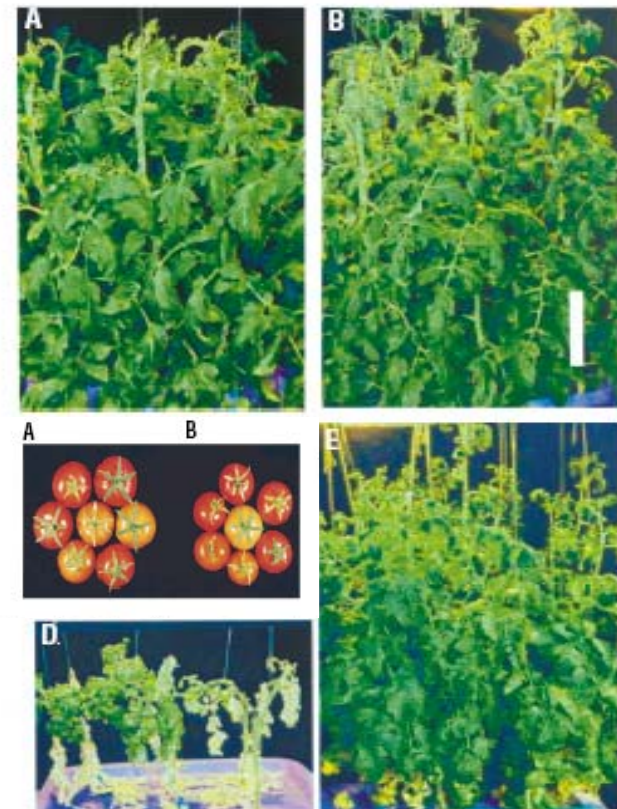
# Transportador de Na utilizado en transformación de Canola y Tomate

## Canola: sobre-expresión del antiporter $\text{Na}^+/\text{H}^+$ vacuolar AtNHX1



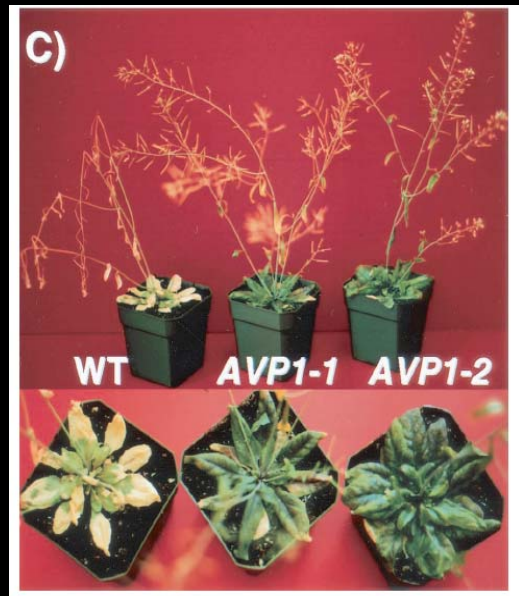
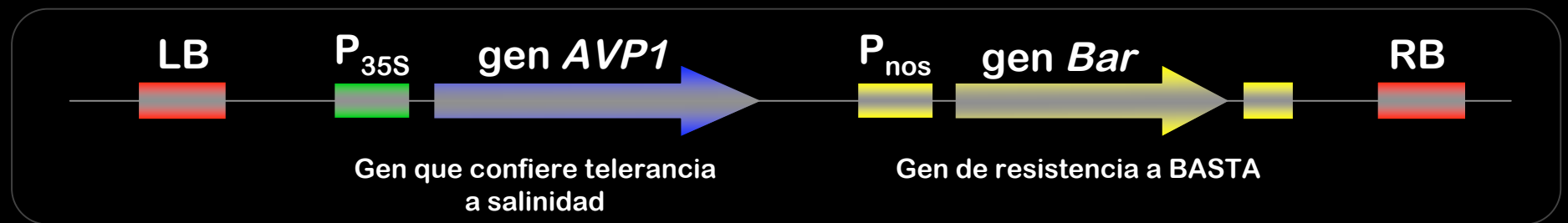
Zhang HX, Hodson JN, Williams JP, **Blumwald E** (2001) Engineering salt-tolerant Brassica plants: characterization of yield and seed oil quality in transgenic plants with increased vacuolar sodium accumulation. Proc Natl Acad Sci USA 98: 12832-12836

## Plantas de tomate tolerante a 200mM NaCl

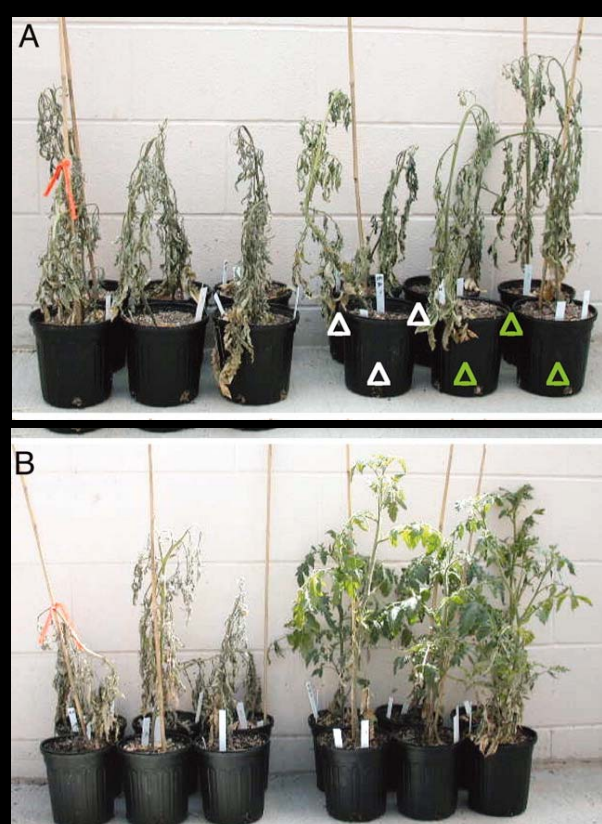


Zhang H-X, **Blumwald E** (2001) Transgenic salt-tolerant tomato plants accumulate salt in foliage but not in fruit. Nature Biotechnol 19: 765-768

# Sobre-expresión de AVP1 Confiere Tolerancia a la Salinidad y Sequía



Planta modelo, *Arabidopsis thaliana*  
10 días en 250uM NaCl

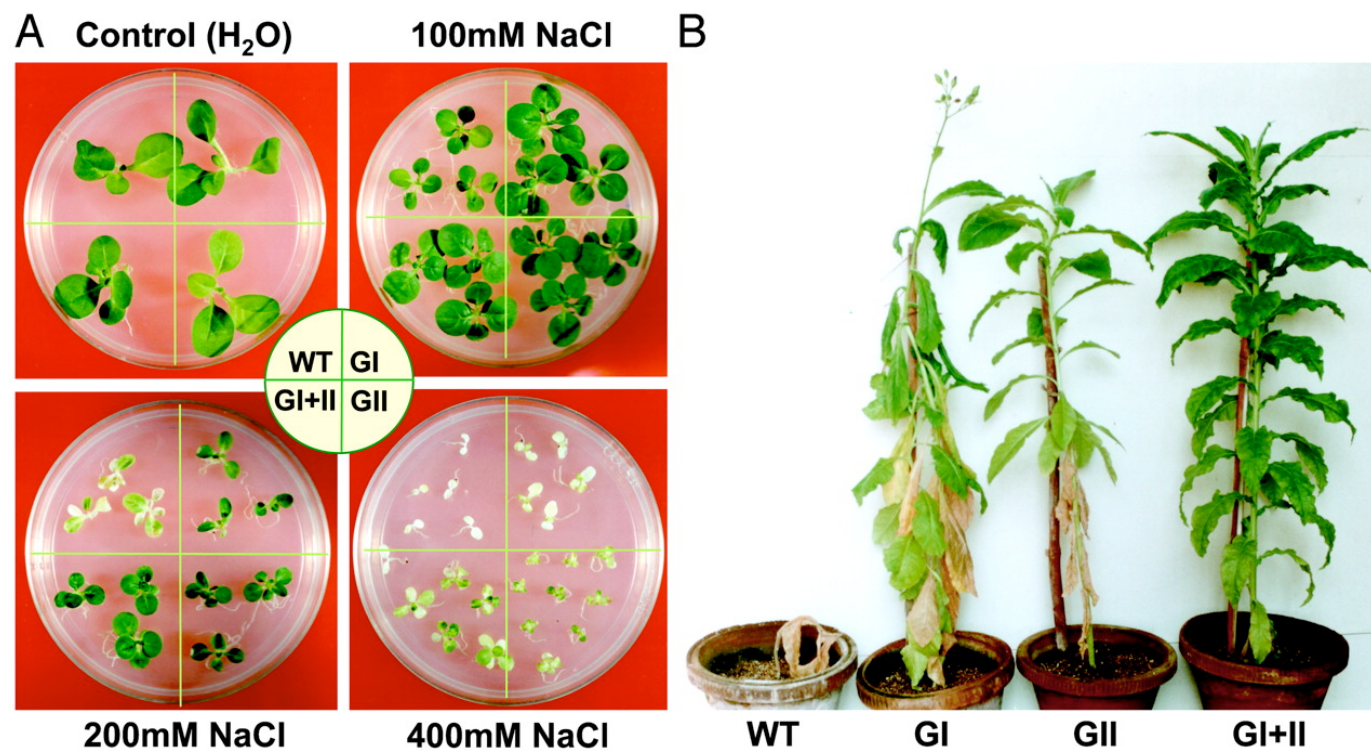


Tomate, *Lycopersicon esculentum*  
A) 13 días sin riego  
B) 1 días después de la re-hidratación

# Sobreexpresión de GlyI-GlyII Confiere Tolerancia a la Salinidad

Tolerancia relativa a la salinidad en plantas de tabaco que sobreexpresan la GLIOXALASA I y II  
→ evaluación en semillas

→ evaluación en plantas completas

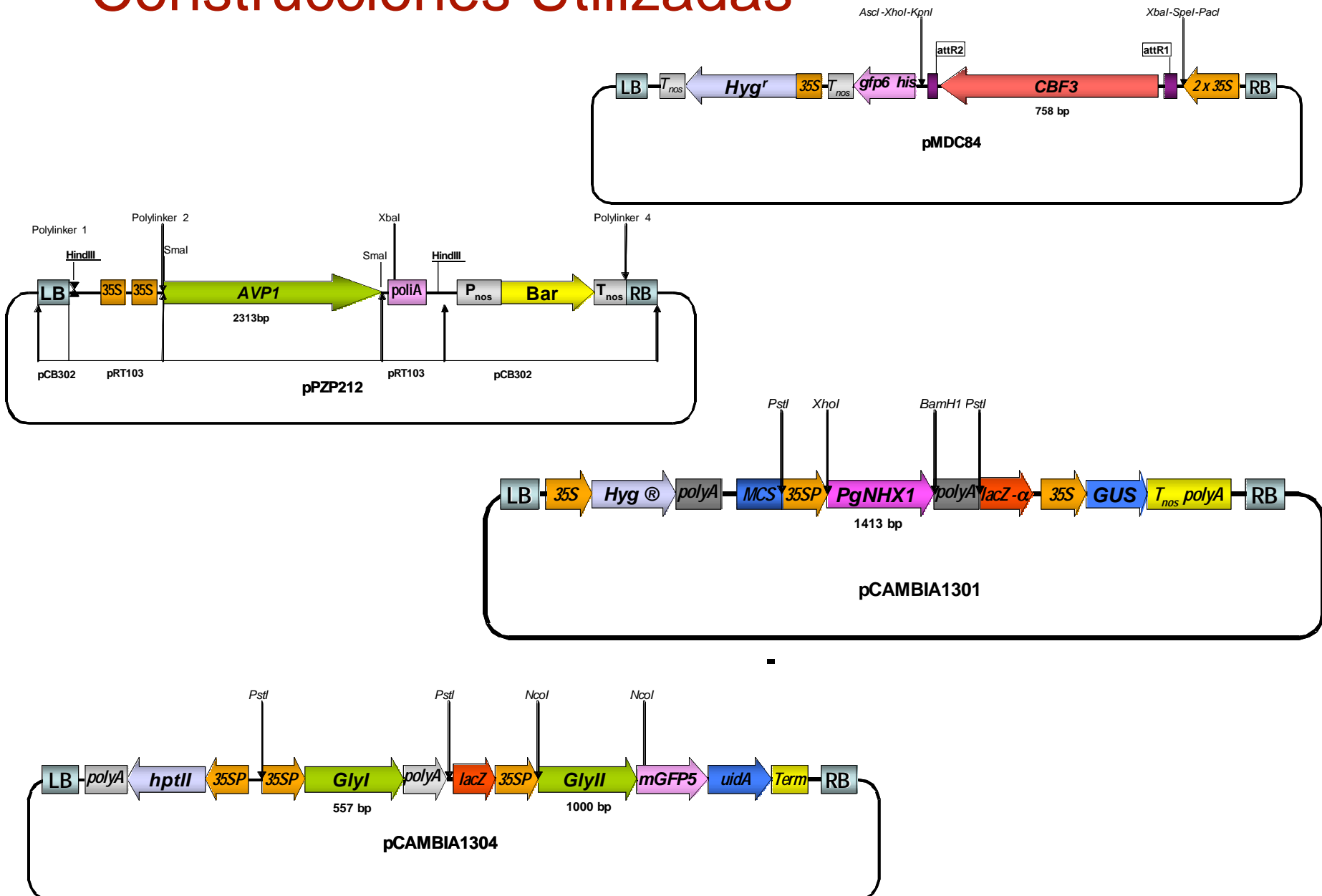


*Singla-Pareek, S. L. et al. (2003) Proc. Natl. Acad. Sci. USA 100, 14672-14677*

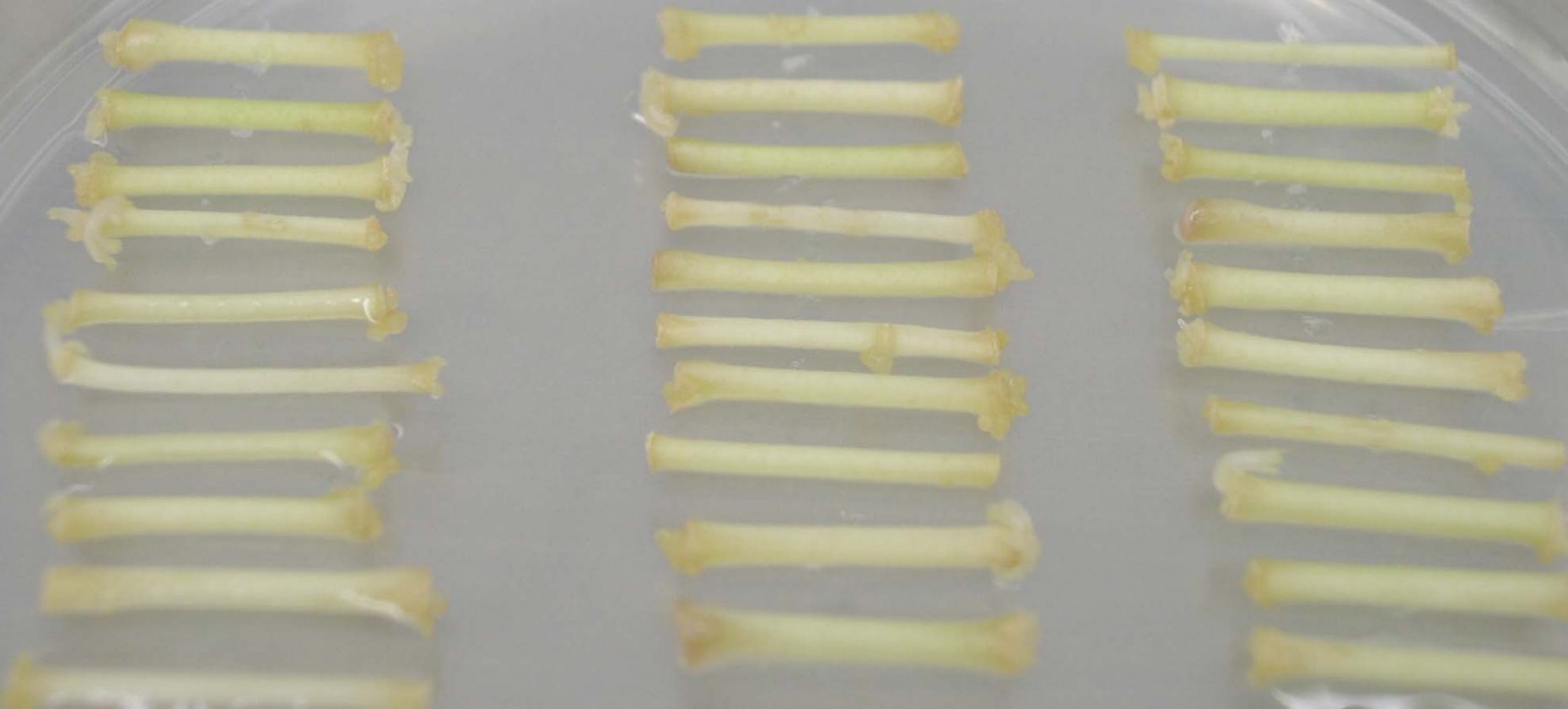
# Construcciones utilizadas para transformación genética de cítricos, que confieren tolerancia a la salinidad

	Construcción	Genes	<i>E. coli</i>	<i>Agrobacterium</i>	Planta	Gen rep
Resistencia a antibióticos						
Blumwald	AtNHX1	Antiporter vacuolar pBX1	Kan	Rif + Gen + Kan	Kan	GUS
	AtNHX5	Antiporter pBX5	Kan	Rif + Gen + Kan	Kan	GUS
	AtNHX1-5'UTR	Antiporter pB5UX1	Kan	Rif + Gen + Kan	Kan	GUS
Dr. Wu	pSB109-TPSP	Fusión genes TPSP Promotor ABA inducible	Spect	Rif + Gen + Kan	BASTA	
	pSB-RTSP	Promotor rbcS Target cloroplasto	Spect	Rif + Gen + Kan	BASTA	
Dr. Sopory	DCH	Glyoxilase I ( <i>Brassica</i> ) + Glyoxilase II ( <i>Pennisetum</i> )	Kan	Rif + Gen + Kan	Higro	Fusión GFP+GUS
	PgNHX1	Antiporter NHX	Kan	Rif + Gen + Kan	Higro	GUS
Dr. Arce	CBF3	CBF3 (DREB1A)	Kan	Rif + Gen + Kan	Kan	
	GUS 1	<i>uidA</i>	Kan	Rif + Gen + Kan	Kan	GUS
	BOR1	Boron transporter	Kan	Rif + Gen + Kan	Kan	
	MYB60	Factor transcripción	Kan	Rif - Kan	Kan	
Dr. Gaxiola	AVP1	Pyrofosfatasa vacuolar	Kan	Rif - Kan	Kan	

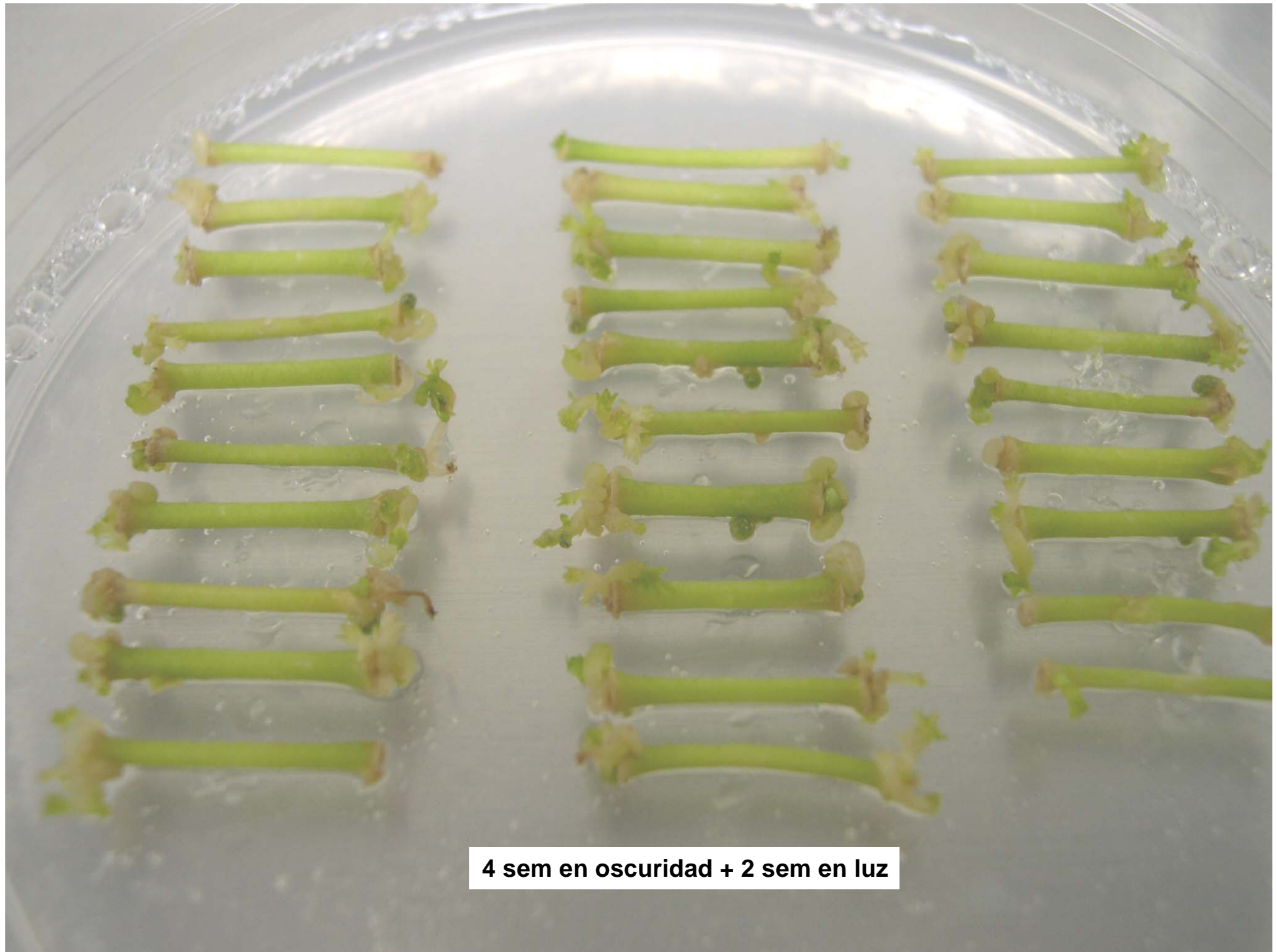
# • Construcciones Utilizadas



# Rubidoux

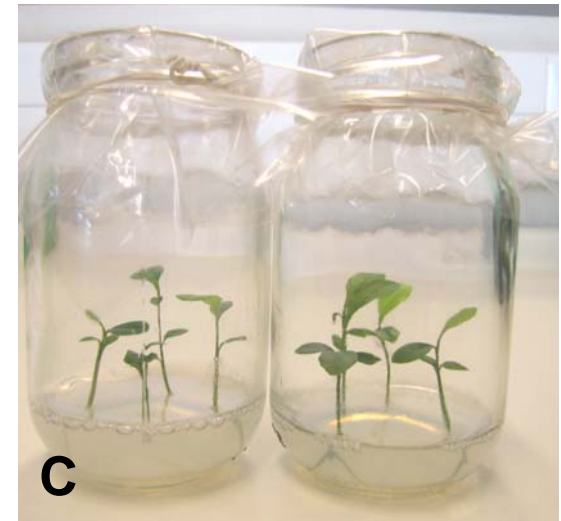
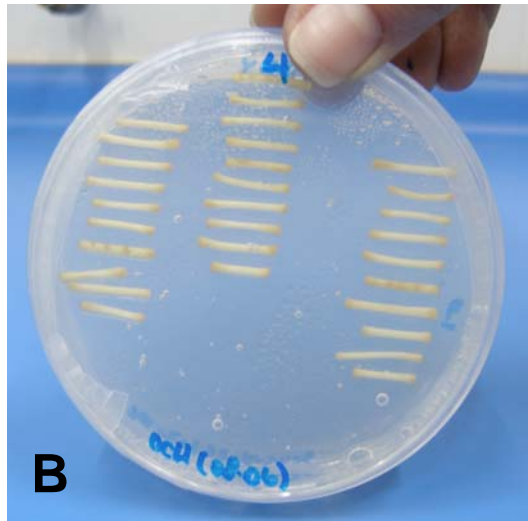


**2 semanas en oscuridad**

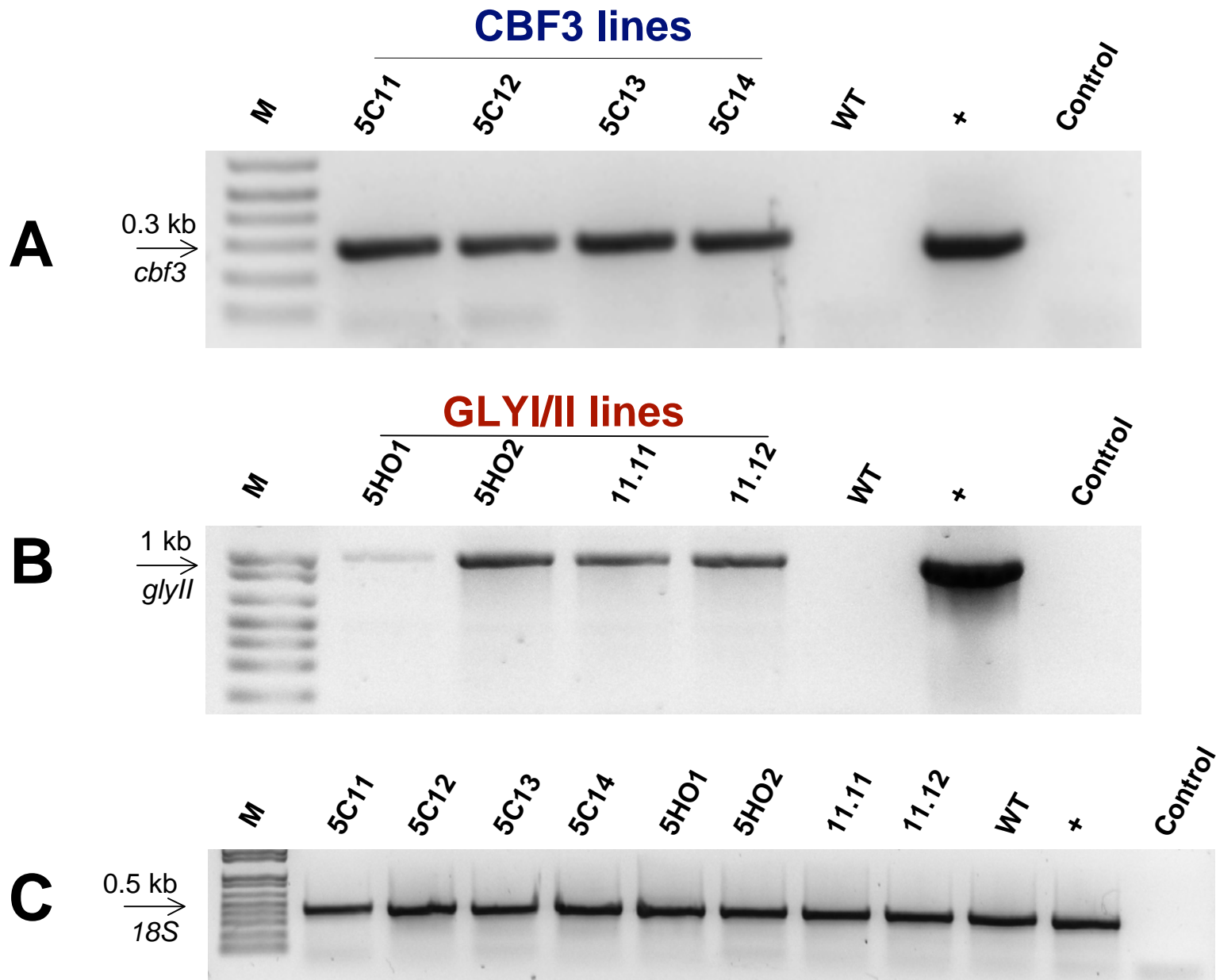


**4 sem en oscuridad + 2 sem en luz**

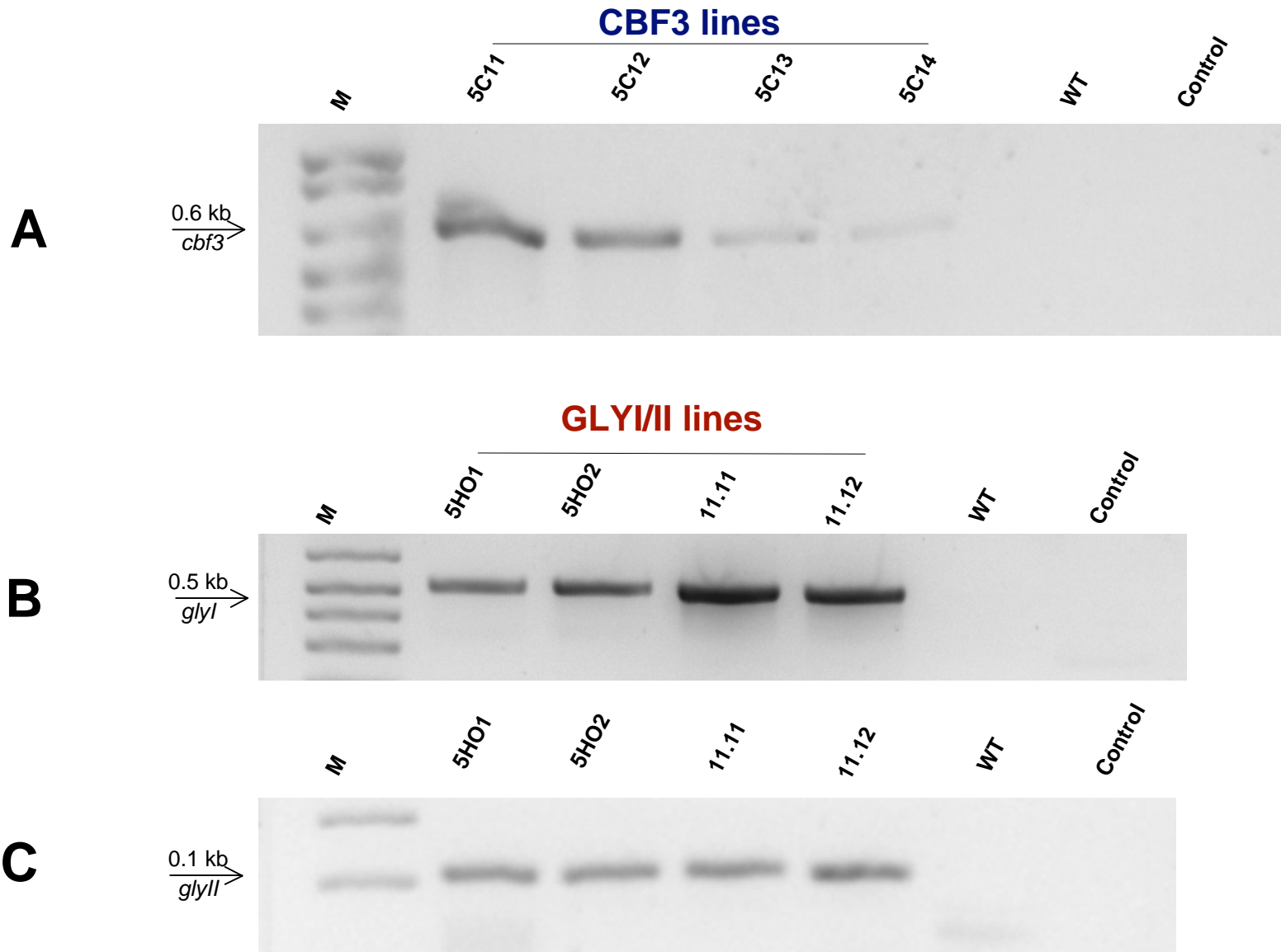
# Procedimiento de Transformación Genética de Cítricos



# Caracterización Molecular Mediante PCR

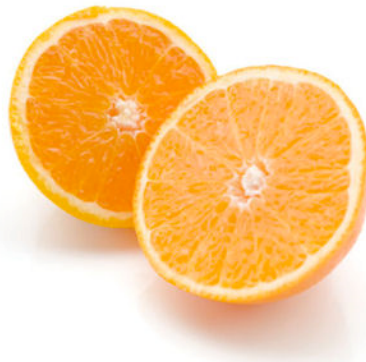


# Caracterización Molecular Mediante RT-PCR



# Porta Injertos Transgénicos Generados

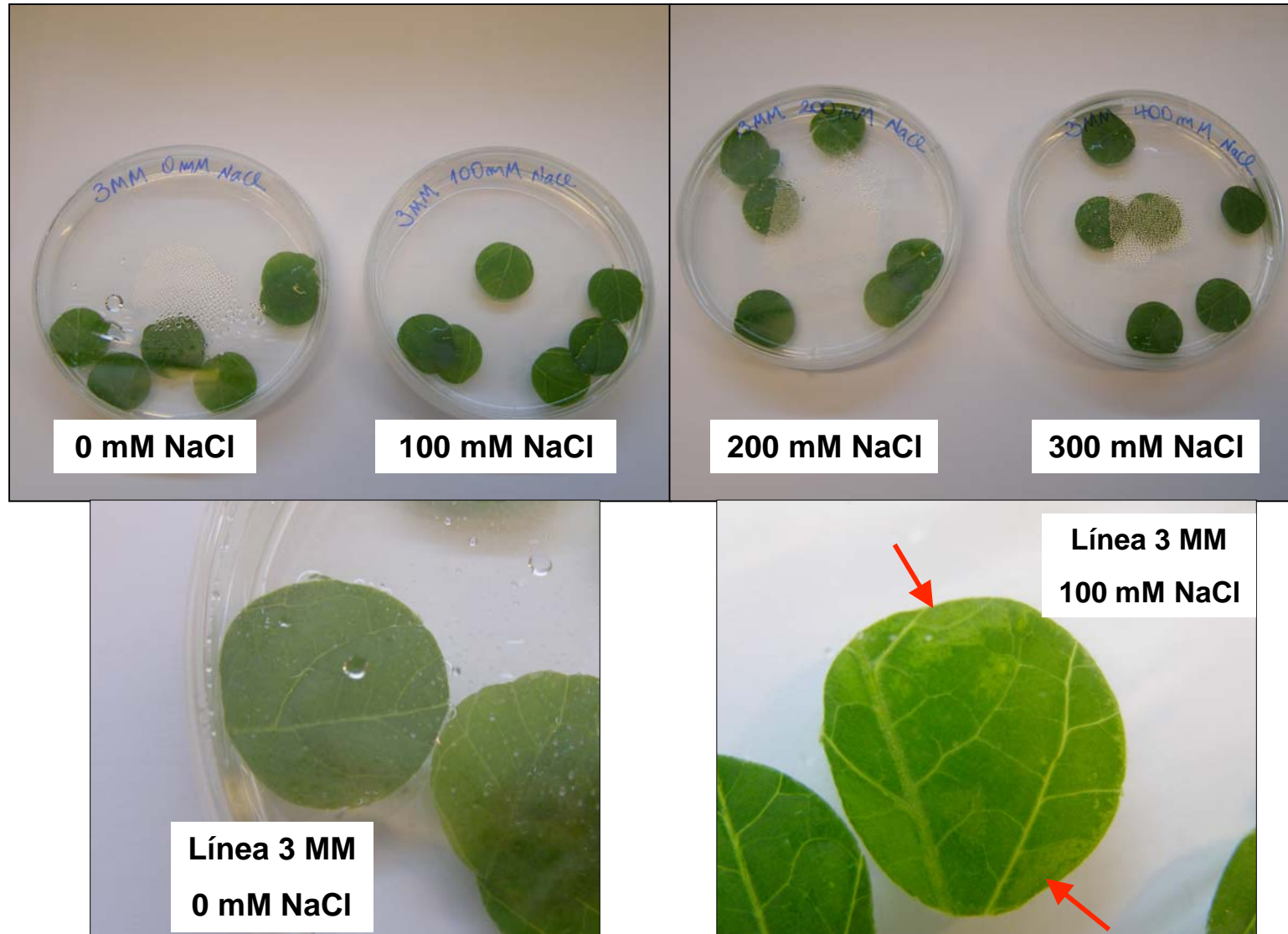
Patrón	C-35	Macrophylla	Carrizo	Rubidoux	Total
Gen					
AVP1	5	4	2		11
CBF3	5	2	21	9	37
DCH		1	5	2	8
PgNHX1			2	1	3
Total	10	7	30	12	59



# Plantas Transgénicas en Maceta en Invernadero



# Evaluación de Portainjertos Transformados



# Selección y Evaluación de Portainjertos Transgénicos

# Clonación de Líneas Seleccionadas



# Evaluación de Tolerancia a la Salinidad en Líneas Seleccionadas

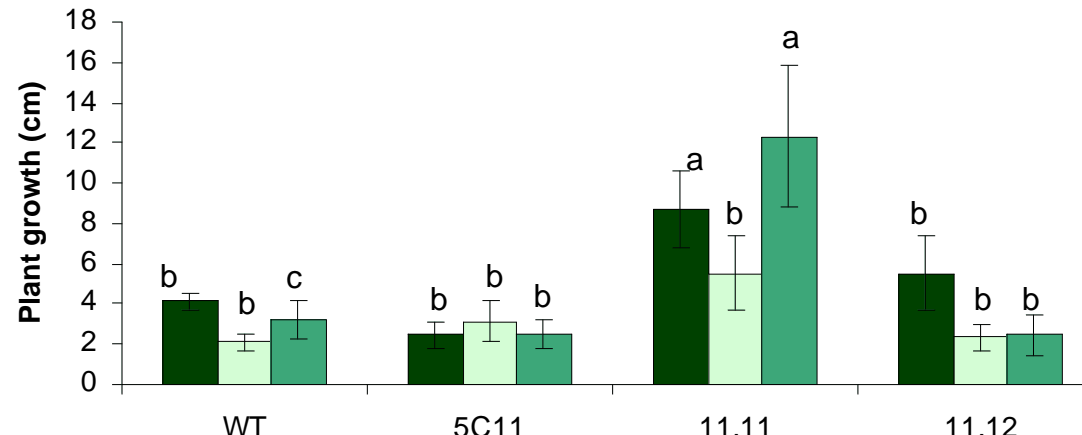
Tratamientos

PLANTS	75mM NaCl Cl (mg/100g)		75mM NaCl + 0.37mM B Boron (mg/Kg)	
	SHOOT	ROOT	SHOOT	ROOT
WT	7.00±0.8	2.3±0.3	181.6±12.4	84.5±5.7
CBF3	5.2±0.5	2.8±0.4	180.4±7.2	91.6±10.2
GLYI/II	5.3±0.3	2.7±0.2	182.8±9.3	96.6±10.6

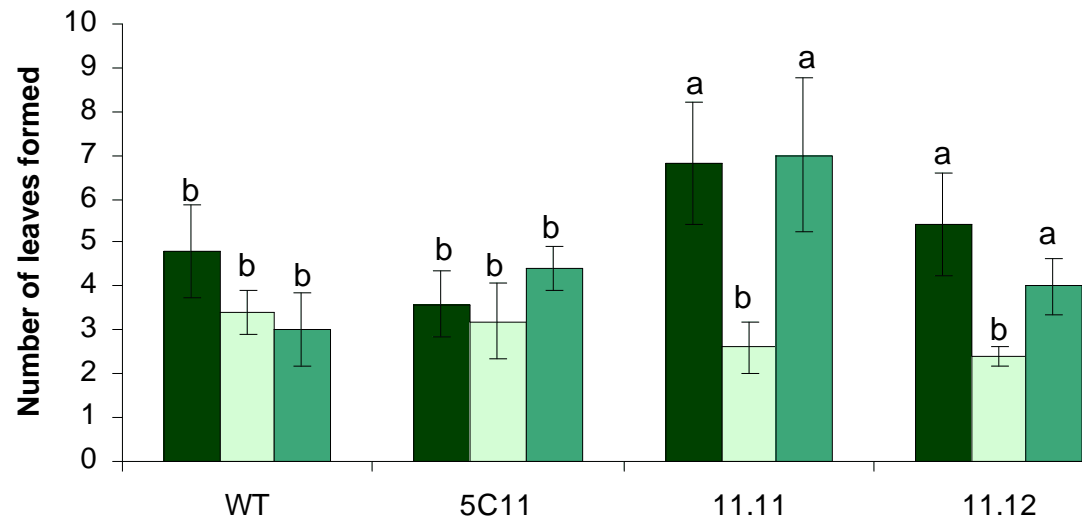
# Evaluación de Tolerancia a la Salinidad en Líneas Seleccionadas

A

■ 25% Hoagland □ 75mM NaCl ▨ 75mM NaCl + 0.37mM Boron

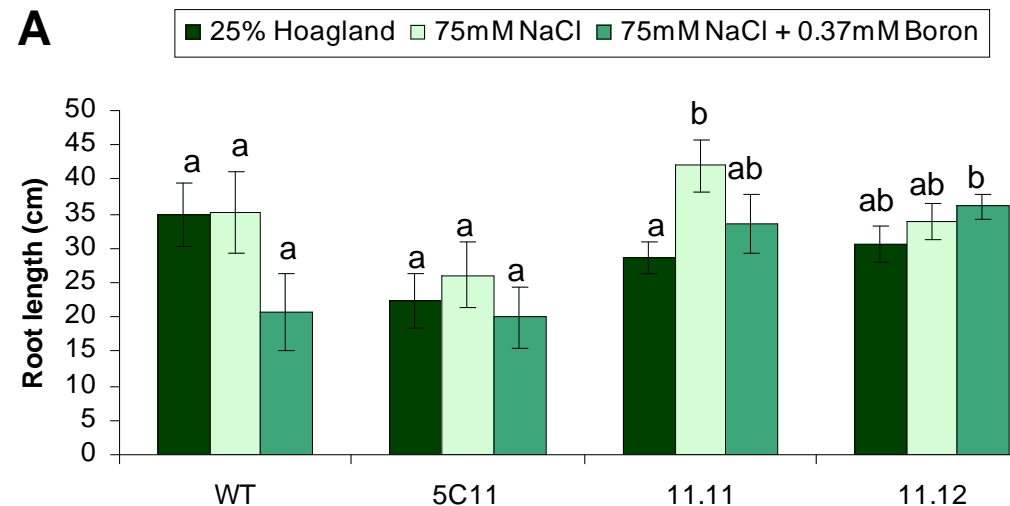


B

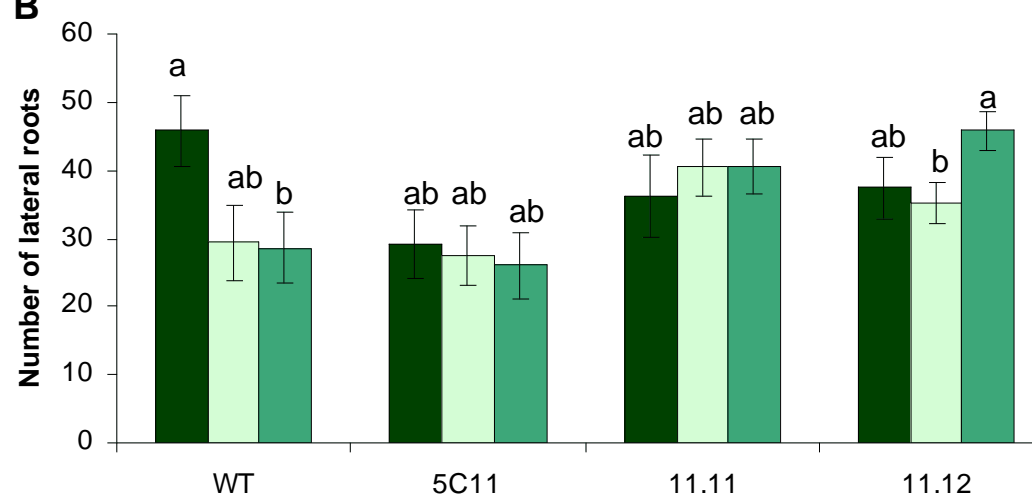


# Evaluación de Tolerancia a la Salinidad en Líneas Seleccionadas

A

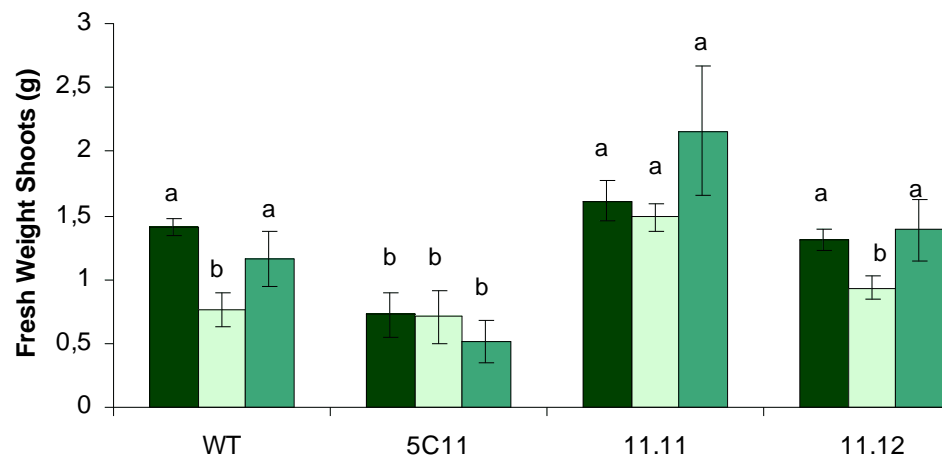


B

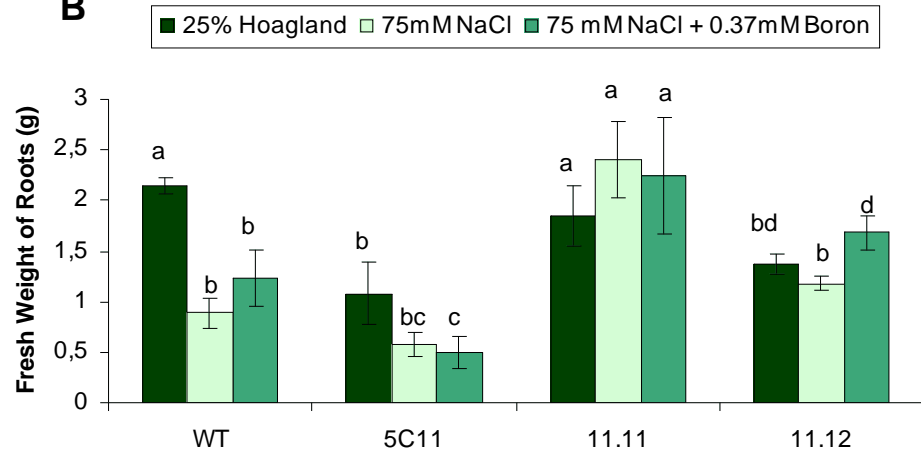


# Evaluación de Tolerancia a la Salinidad en Líneas Seleccionadas

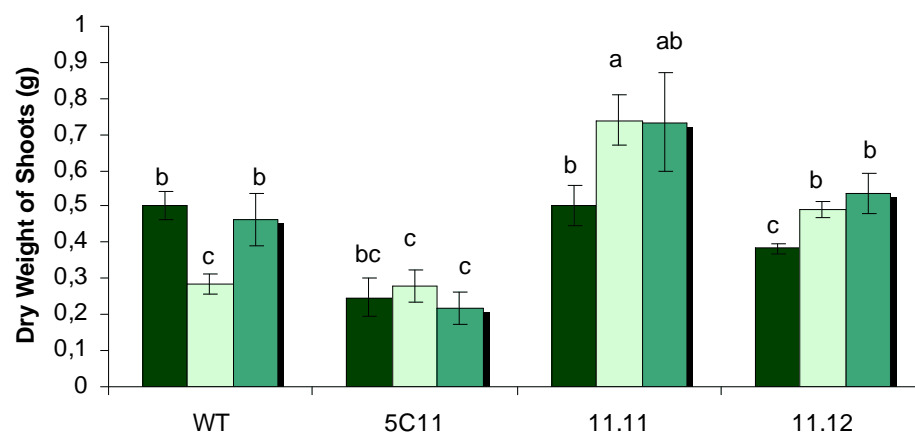
A



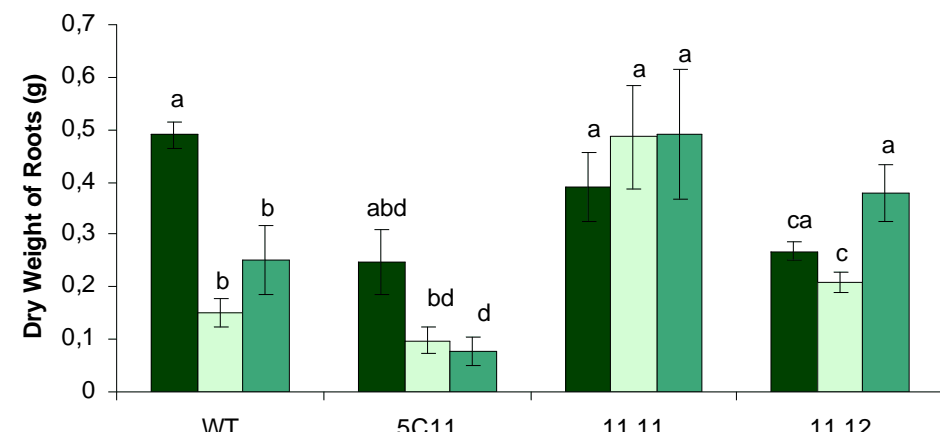
B

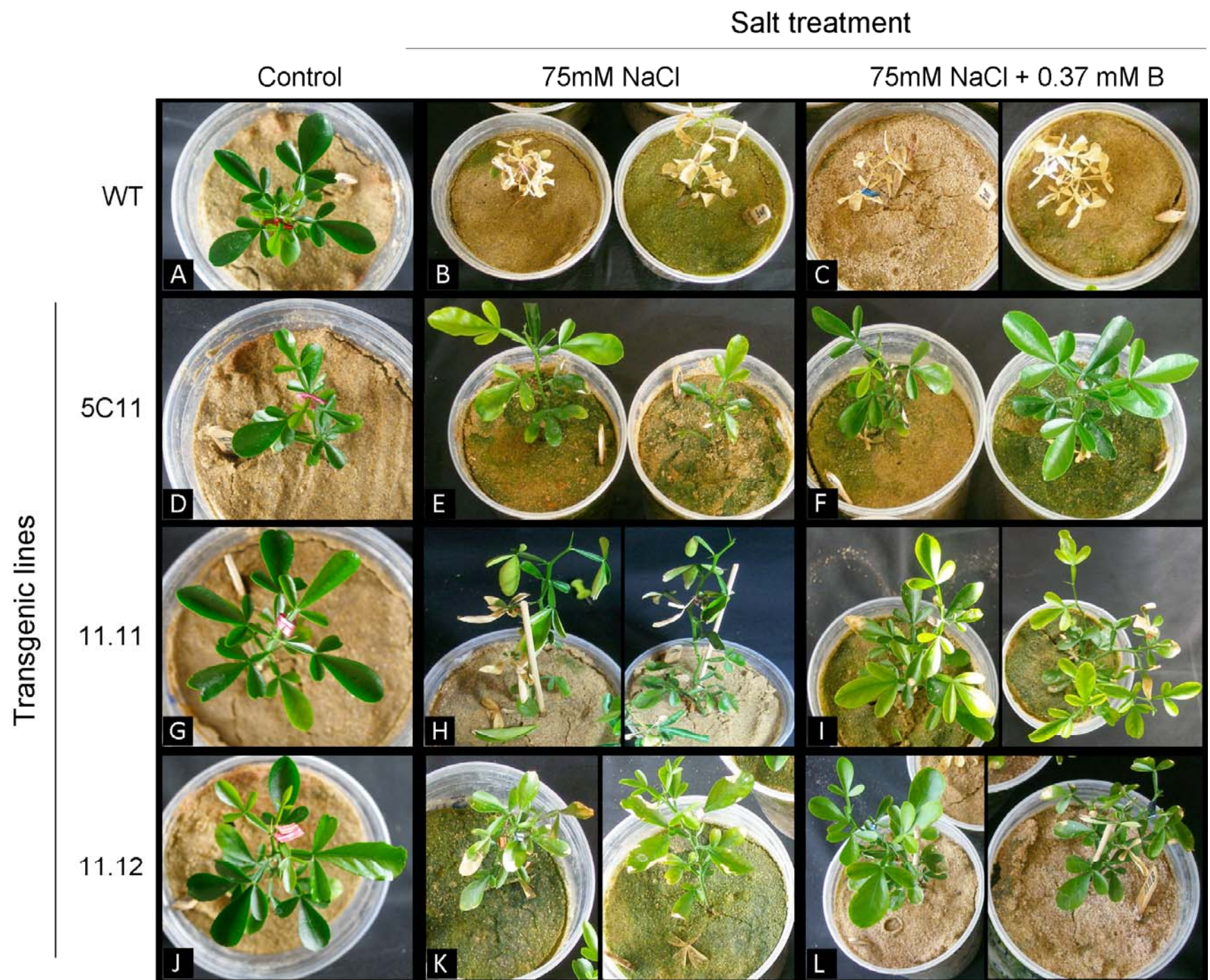


C



D





Carrizo, 90 mM NaCl 0 d



Inicio del ensayo

Carrizo, 90 mM NaCl 35 d



No transgénicos

Carrizo, 90 mM NaCl 35 d



Transgénicos

Carrizo, 90 mM NaCl 35 d



Transgénicos vs. No transgénicos



# Transformación de Portainjertos de Cítricos para Incrementar la Tolerancia a la Salinidad



← Cultivar

← Portainjerto  
transgénico

# AGRADECIMIENTOS



Paola Cañon



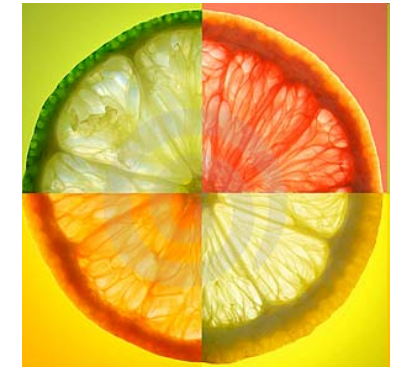
Rowena Cortés



Ximena Alvarez



Amparo Rodríguez



# Problema de Salinidad en Chile

- Concentraciones de iones en Copiápo

Suelo (localidad)	pH	Conductividad eléctrica	Contenido en el extracto de saturación		
				<b>Na<sup>+</sup></b>	<b>Cl<sup>-</sup></b>
				(dS/m)	(mmol/l)
Cerrillos	8,1	2,5	<b>7,4</b>	<b>4,4</b>	1,3
Pichincha	8,1	5,7	<b>25,8</b>	<b>33,8</b>	4,1
Chañar	8,0	6,7	<b>29,3</b>	<b>25,7</b>	4,1
Chamonate	8,2	10	<b>60,3</b>	<b>66</b>	2,5
Nantoco	8,2	9,5	<b>61,5</b>	<b>69</b>	27,1
Linderos	8,2	1	<b>72,4</b>	<b>30,7</b>	27,5
Apacheta	8,1	11,3	<b>81,1</b>	<b>64,8</b>	9,5
Rodeo	8,1	1,4	<b>98,0</b>	<b>71,4</b>	15,8
Toledo	8,1	16,2	<b>138,9</b>	<b>89,3</b>	20,5
E. De Bordos	8,2	19,1	<b>149,5</b>	<b>119,4</b>	8,6
Ramadilla	8,2	5,5	<b>165,8</b>	<b>140,1</b>	20,1